

## بررسی ارتعاشات آزاد ورق مشبک با استفاده از تحلیل هم هندسی

دانشجوی دکتری، گروه مکانیک، واحد اهواز، دانشگاه آزاد اسلامی، اهواز، ایران، abdveisiara@gmail.com  
 استادیار، گروه مهندسی مکانیک، دانشکده مهندسی، دانشگاه شهید چمران اهواز، اهواز، ایران  
 h.msedighi@scu.ac.ir  
 استادیار، گروه مکانیک، واحد اهواز، دانشگاه آزاد اسلامی، اهواز، ایران، arashreza@gmail.com

عبداله ویسی آرا

حمید محمدصدیقی\*

آرش رضا

### چکیده

این مقاله به بررسی ارتعاشات آزاد ورق مشبک با حفره‌های داخلی با شکل‌های متفاوت، الگوهای مستطیلی و مثلثی با شرایط مرزی ساده و گیردار به کمک روش هم‌هندسی می‌پردازد. با در نظر گرفتن ورق میندلین-ریسنر با نظریه مرتبه اول برشی، روابط حاکم بر رفتار ورق و روابط کرنش جابجایی استخراج گردیده است. با استفاده از اصل همپلتون و فرم ضعیف معادلات حرکت، ماتریس‌های سختی و جرم محلی و کلی تشکیل شده و تبدیل به مسئله مقدار ویژه ارتعاشی شده است. از حل مسئله مقدار ویژه دستگاه معادلات خطی حاصل شده، فرکانس‌های طبیعی و شکل مودهای متناظر تعیین شده است. مرتبه توابع پایه و تعداد نقاط کنترلی انتخابی برای تشکیل هندسه دقیق شکل بررسی شده و متناسب با هندسه ورق مشبک مورد اصلاح قرار گرفته است. پس از آن اثر قطرهای متغای سوراخ دایره‌ای و شکل حفره‌ها بر روی رفتار ارتعاشی ورق مورد مطالعه قرار گرفته و نتایج حاصل شده با برخی منابع و حل نرم‌افزاری مقایسه گردیده است. در انتها رفتار ورق مشبک نیز بررسی شده است که نتایج نشان از دقت بالای روش هم‌هندسی در تحلیل ارتعاشات ورق مشبک است. **واژه‌های کلیدی:** ورق مشبک، تحلیل هم‌هندسی، توابع پایه، نقاط کنترل، ارتعاشات آزاد، الگوی سوراخ.

## Free vibration analysis of perforated plate using isogeometric analysis

A. Veisi Ara

H. Mohammad Sedighi

A. Reza

Department of Mechanical Engineering, Ahvaz Branch, Islamic Azad University, Ahvaz, Iran  
 Faculty of Engineering, Shahid Chamran University of Ahvaz, Ahvaz, Iran  
 Department of Mechanical Engineering, Ahvaz Branch, Islamic Azad University, Ahvaz, Iran  
 Department of Mechanical Engineering, Ahvaz Branch, Islamic Azad University, Ahvaz, Iran

### Abstract

In this paper, Isogeometric analysis (IGA) based on nonuniform rational B-splines (NURBS) is developed to study the free vibration analysis of the perforated plates with different open hole shapes and hole patterns. In this way, the governing equilibrium equations of perforated plate and strain-displacement relations are obtained using the first-order shear-deformable plate theory. The optimal number of control points and the order of the NURBS basis functions are determined to perform physical geometry related to perforated plate geometry. The eigenvalue equations with linear stiffness are established using the weak form of motion equations, energy method and Hamilton principle. The vibrational frequencies and corresponding mode shapes of the perforated plate is derived from governing eigenvalue equations. The results of linear vibrations of plate with central hole are validated considering the previously reported data and finite element analysis, which showed a good agreement. Thereafter, the influence of hole size and shape are explored on the linear vibrations of the plate with hole in same hole area ratio. Further, the effect of the triangular and rectangular pattern under the fully clamped and simply boundary conditions is presented.

**Keywords:** Perforated plate, Isogeometric analysis, Basis function, Control points, Free vibration, holes pattern.

### ۱- مقدمه

شده، تحلیل هم‌هندسی<sup>۱</sup> را در سال ۲۰۰۵ معرفی کردند. در روش هم-هندسی ابتدا هندسه دقیق به وسیله سطوح NURBS<sup>۲</sup> ایجاد شده و از همان متغیرهای مدل‌سازی هندسه مسئله برای تقریب متغیرهای تابع میدان مجهول استفاده می‌شود. فروغی و همکاران [۳] از روش هم‌هندسی برای یافتن خیز و ارتعاشات تیر کامپوزیتی استفاده شده است. ویگر و همکاران [۴] با استفاده از روش هم‌هندسی مدل‌سازی و شبیه‌سازی دقیق برای تیر سه بعدی غیرخطی با سطح مقطع متغیر و ساخته شده از مواد مختلف را انجام داده است. شجاعی و همکاران [۵]، ارتعاشات آزاد ورق بر پایه تحلیل هم‌هندسی را با استفاده از نظریه کلاسیک بررسی کرده‌اند. آنها فرکانس‌های ورق مربعی، دایروی و L-شکل همسانگرد با شرایط تکیه‌گاهی گیردار و ساده را به روش هم‌هندسی با انتخاب تابع مرتبه سه بدست آوردند. وجود سوراخ در

ورق‌ها با توجه به نسبت مقاومت به وزن مناسبی که دارند به طورگسترده‌ای در صنایع مختلف مورد استفاده قرار می‌گیرند. اما با توجه به شرایط طراحی و محل نصب ورق‌ها در سازه‌ها، اغلب سوراخ و یا برش در مرز و لبه‌های آنها ایجاد می‌شود. امروزه با توجه به استفاده روزافزون از سازه‌های مشبک در زمینه‌های مختلف صنایع مانند معماری و عمران (صفحات جاذب صدا)، صنایع غذایی (فرایند غربال-گری مواد غذایی)، صنایع فولاد (غربال‌گری گندله) و صنایع شیمیایی (فیلترها، پمپ‌های سانترفیوژ و تصفیه کننده‌های گازها) بررسی رفتار ورق‌های مشبک از لحاظ مشخصه‌های ارتعاشی، امری ضروری است [۱]. یکی از روش‌های عددی قدرتمند در حل این گونه مسائل مهندسی، روش اجزای محدود است که در آن هندسه جسم به المان‌های کوچک تقسیم می‌شود. از آنجا که شبکه‌بندی المان محدود تنها یک تقریب از هندسه است می‌تواند باعث شود که جواب‌های با دقت کمتر بدست آید [۲]. هیوز و همکاران [۲] برای حل مشکل بیان

<sup>1</sup> Isogeometric analysis

<sup>2</sup> NonUniform Rational B-Splines

\* نویسنده مکاتبه کننده، آدرس پست الکترونیکی: h.msedighi@scu.ac.ir

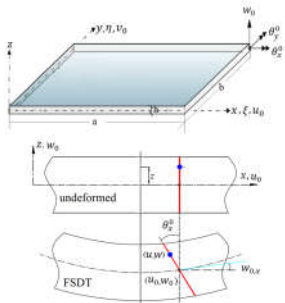
ورق‌ها، به خصوص سوراخ‌های خارج از مرکز باعث تغییرات قابل ملاحظه‌ای بر روی فرکانس‌های طبیعی و شکل مدهای سازه‌ها می‌شود [۱۶]. گراسی [۷] ارتعاشات آزاد ورق مستطیلی با سوراخ دایره‌ای را با در نظر گرفتن دوران صفحه میانی، با استفاد از روش تحلیلی بهینه سازی شده ریلی ریتز برای شرایط مرزی مختلف بررسی نموده است. کلیتا و هلدر [۸] با استفاده از المان نه گرهی هم‌پارامتری یک ورق مربعی با سوراخ مربعی را با شرایط مرزی متفاوت بررسی نموده است. راثول و همکاران [۹] با ثابت نگه داشتن نسبت اضلاع و نسبت مساحت سوراخ‌ها در یک ورق مرکب، تغییرات رفتار ارتعاشی ورق با شکل سوراخ‌های متفاوت را برای تعیین بهترین محل سوراخ‌ها در ورق، با استفاده از نرم‌افزار ANSYS را مورد بررسی قرار دادند. ژانگ و همکاران [۱۴] با استفاده از ترکیب روش هم هندسی و روش بدون المان به بررسی ارتعاشات و تغییر شکل ورق با نظریه کیرشهوف<sup>۱</sup> پرداختند. بری و تنبور [۱۵] ارتعاشات ورق مشبک با حفره‌های مستطیل شکل و الگوی مستطیلی با شرایط تکیه گاهی ساده را با استفاده از خواص معادل مواد حاصل از نظریه الیسیسته تحلیل نموده و در ادامه فرکانس‌های طبیعی حاصل با حل نرم‌افزاری مقایسه نمودند. در این روش چگالی و ضریب الیسیسته معادل محاسبه شده ولی از تغییرات ضریب پواسون صرف نظر شده است. کنیجی و همکاران [۱۶] تنش‌های ورق دایره‌ای متقارن همسان‌گرد<sup>۲</sup> و مشبک شده با سوراخ‌های دایره‌ای شکل را با اعمال بار متمرکز در مرکز ورق به کمک نرم‌افزار ABAQUS تحلیل کردند و نتایج را با روش تجربی مقایسه نمودند. برای تعیین مختصات نواحی تمرکز تنش از روش اجزاء محدود استفاده شد. اما اختلاف نتایج بین روش تجربی و حل نرم‌افزاری تا ۳۶ درصد بوده است. در تحقیقی دیگر سلیمانی و همکاران [۱۷] با استفاده از یک مدل ریاضی، ارتعاشات آزاد یک ورق مشبک از جنس مواد مرکب با تکیه‌گاه ساده را تحت بار ناشی از کمانش حرارتی و القاء حرارتی تحلیل نموده و با مقالات دیگر مقایسه نمودند. سفتی و چگالی به کمک توابع توزیع هوی ساید به صورت محلی تعریف شده است.

با توجه به اهمیت و کاربردهای متنوع ورق‌های با حفره‌های داخلی و ضرورت تحلیل رفتار ارتعاشی این نوع ورق‌ها، روشهای متفاوت تحلیلی، تجربی و عددی مورد مطالعه قرار گرفته است که نشان می‌دهد حل تحلیلی ورق مشبک با حفره‌های با اشکال متفاوت پیچیده و زمانبر است. برای حل عددی این‌گونه مسائل، یکی از روش‌های عددی قدرتمند، روش اجزا محدود است که تقریب هندسه در این روش ممکن است در تحلیل شکل‌های پیچیده باعث به دست آمدن جواب‌های با دقت کمتر شده و زمان زیادی نیز صرف شبکه‌بندی آن شود. از آنجایی که روش هم‌هندسی با استفاده از توابع NURBS، مدل-سازی دقیق هندسه ورق و حفره‌ها با اشکال متفاوت و پیچیده را به راحتی انجام می‌دهد و از طرفی امکان افزایش یا کاهش درجه پیوستگی و تعداد نقاط کنترل به طور همزمان در آن وجود دارد، در این مقاله سعی شده است تا برای اولین بار با استفاده از تحلیل هم‌هندسی رفتار ارتعاشی ورق‌های سوراخ‌دار با قطر و تعداد سوراخ‌های متفاوت، سوراخ هم‌مرکز و خارج از مرکز، سوراخ با اشکال متفاوت و

ورق مشبک با الگوی سوراخ‌های مستطیلی و مثلثی تحلیل شود. به این منظور روابط حاکم بر رفتار ورق با استفاده از نظریه میندلین و روابط کرنش جابجایی استخراج گردیده است و با انتخاب مرتبه توابع NURBS و تعداد نقاط کنترل بهینه متناسب با فیزیک مساله، هندسه شکل به صورت دقیق تشکیل شده است و پس از آن پاسخ ارتعاشی ورق سوراخ دار استخراج شده است و در انتها، با تعمیم این روش ورق مشبک نیز با دقت خوبی تحلیل شده است.

## ۲- معادلات حرکت

با در نظر گرفتن یک المان ورق مستطیلی از مواد همسان‌گرد به ابعاد  $a \times b$  و به ضخامت  $h$  معادلات حرکت استخراج شده است و مشابه روش هم‌پارامتری در روش اجزای محدود المان مستطیلی به المان با شکل مورد نظر جهت تشکیل ورق مشبک نگاشت شده است. دامنه صفحه به صورت  $\bar{V} = \Omega \times (-h/2, h/2)$  تعریف شده است که در آن  $\Omega \in R^2$  است. با استفاده از نظریه میندلین تغییر شکل برشی در معادلات در نظر گرفته می‌شود (شکل ۱). برای هر نقطه از ورق میدان جابجایی به صورت رابطه (۱) تعریف می‌شود [۲۰-۱۸]:



شکل ۱- المان ورق میندلین

$$u(x, y, z, t) = u_1(x, y, t) + zu_2(x, y, t) + f(z)u_3(x, y, t) \quad (1)$$

تابع  $f(z)$  با توجه به فرض نظریه برشی مرتبه اول  $f(z) = z$  و:

$$u = \begin{Bmatrix} u \\ v \\ w \end{Bmatrix}, u_1 = \begin{Bmatrix} u_0 \\ v_0 \\ w \end{Bmatrix}, u_2 = - \begin{Bmatrix} \frac{\partial w}{\partial x} \\ \frac{\partial w}{\partial y} \\ 0 \end{Bmatrix}, u_3 = \begin{Bmatrix} \frac{\partial w}{\partial x} + \theta_y \\ \frac{\partial w}{\partial y} - \theta_x \\ 0 \end{Bmatrix} \quad (2)$$

$u_0, v_0, w$  به ترتیب جابجایی‌ها در راستای محورهای  $x, y$  و  $z$

سطح میانی ورق است و  $\theta_x$  و  $\theta_y$  به ترتیب دوران‌های نقاط نسبت به قبل از تغییر شکل، حول محورهای  $x$  و  $y$  هستند. بنابراین جابجایی و کرنش‌ها عبارت است از:

$$\begin{aligned} u(x, y, z) &= u_0(x, y) + z\theta_y(x, y) \\ v(x, y, z) &= v_0(x, y) - z\theta_x(x, y) \\ w(x, y, z) &= w(x, y) \end{aligned} \quad (3)$$

$$\begin{aligned} \epsilon_x &= \frac{\partial u}{\partial x}, \quad \epsilon_y = \frac{\partial v}{\partial y}, \quad \epsilon_z = 0 \\ \gamma_{xy} &= \frac{\partial u}{\partial y} + \frac{\partial v}{\partial x}, \quad \gamma_{xz} = \frac{\partial u}{\partial z} + \frac{\partial w}{\partial x}, \quad \gamma_{yz} = \frac{\partial v}{\partial z} + \frac{\partial w}{\partial y} \end{aligned} \quad (4)$$

با فرض کوچک بودن جابجایی‌ها نسبت به ضخامت روابط کرنش-

جابجایی در ورق به صورت زیر تعریف می‌شود:

<sup>1</sup> Kirchhoff

<sup>2</sup> Isotropic

$$\begin{Bmatrix} Q_x \\ Q_y \end{Bmatrix} = \kappa \begin{bmatrix} A_{44} & A_{45} \\ A_{45} & A_{55} \end{bmatrix} \begin{Bmatrix} \theta_y + \frac{\partial w}{\partial x} \\ -\theta_x + \frac{\partial w}{\partial y} \end{Bmatrix} \quad (12)$$

به دلیل تقارن ضخامت نسبت به سطح میانتار [B] برابر صفر است و از رابطه (۱۳) خواهیم داشت:

$$[A] = \frac{Eh}{1-\nu^2} \begin{bmatrix} \nu & 1 & 0 \\ 1 & \nu & 0 \\ 0 & 0 & \frac{1-\nu}{2} \end{bmatrix}, \quad (13)$$

در رابطه فوق، E مدول یانگ،  $\nu$  نسبت پواسون و  $\kappa = \frac{5}{6}$  ضریب تصحیح برشی است. از طرف دیگر انرژی کرنشی ذخیره شده در المان حاصل جمع انرژی ناشی از تغییر شکل‌های خمشی و برشی است که در فرم ضعیف بدین صورت بیان می‌شود:

$$U = \frac{1}{2} \int_V \{ \epsilon \}^T \begin{bmatrix} C_{11} & C_{12} & 0 \\ C_{12} & C_{22} & 0 \\ 0 & 0 & C_{66} \end{bmatrix} \{ \epsilon \} dV + \frac{1}{2} \int_V \{ \tau \}^T \begin{bmatrix} C_{44} & 0 \\ 0 & C_{55} \end{bmatrix} \{ \gamma \} dV \quad (14)$$

و انرژی جنبشی صفحه نیز عبارت است از:

$$T = \frac{1}{2} \int_V \rho (\dot{u}^2 + \dot{v}^2 + \dot{w}^2) dV \quad (15)$$

با استفاده از اصل همپلتون معادلات حاکم ارتعاشات آزاد ورق به فرم ضعیف استخراج شده است:

$$-\int_0^t (\delta \Pi_S - \Pi_K + \Pi_I) dt = 0 \quad (16)$$

جایی که  $\Pi_I$  و  $\Pi_K, \Pi_S$  انرژی کرنشی، انرژی جنبشی و انرژی پتانسیل هستند و تغییرات آنها به صورت زیر تعریف می‌شوند:

$$\delta \Pi_S = \int_V (\sigma_{xx} \delta \epsilon_{xx} + \sigma_{yy} \delta \epsilon_{yy} + \tau_{xy} \delta \gamma_{xy} + \tau_{xz} \delta \gamma_{xz} + \tau_{yz} \delta \gamma_{yz}) dV \quad (17)$$

با جاگذاری روابط (۷)، (۵) و (۱۴) در رابطه (۱۸) خواهیم داشت:

$$\delta \Pi_S = \int_V \left( (\delta \epsilon^b)^T \begin{bmatrix} C_{11} & C_{12} & 0 \\ C_{12} & C_{22} & 0 \\ 0 & 0 & C_{66} \end{bmatrix} \epsilon^b + (\delta \gamma)^T \begin{bmatrix} C_{44} & 0 \\ 0 & C_{55} \end{bmatrix} \gamma \right) dV \quad (18)$$

$$\begin{aligned} &= \delta \Pi_1 + \delta \Pi_2 \\ \Pi_1 &= \int_{-\frac{h}{2}}^{\frac{h}{2}} \int_{\Omega} \left( (\epsilon^b)^T \begin{bmatrix} C_{11} & C_{12} & 0 \\ C_{12} & C_{22} & 0 \\ 0 & 0 & C_{66} \end{bmatrix} \delta \epsilon^b d\Omega \right) (z^2) dz \\ &= \int_{\Omega} ((\epsilon^b)^T [D] \delta \epsilon^b) d\Omega \end{aligned} \quad (19)$$

$$\begin{aligned} \Pi_2 &= \int_{-\frac{h}{2}}^{\frac{h}{2}} \int_{\Omega} (\gamma)^T \begin{bmatrix} C_{44} & 0 \\ 0 & C_{55} \end{bmatrix} \delta \gamma d\Omega (1) dz \\ &= \int_{\Omega} ((\gamma)^T [D^s] \delta \gamma^b) d\Omega \end{aligned}$$

و تغییر انرژی جنبشی سیستم جرم نیز عبارت است از:

$$\delta \Pi_K = \int_{-\frac{h}{2}}^{\frac{h}{2}} \int_{\Omega} \rho (\delta u^T \dot{u}) d\Omega dz = \int_{\Omega} (\delta u^T m \ddot{u}) d\Omega \quad (20)$$

به طوری  $\rho$  جرم حجمی و ماتریس جرم برابر است با:

$$m = \rho * I, \quad I = \begin{bmatrix} I_1 & I_2 & I_4 \\ I_2 & I_3 & I_5 \\ I_4 & I_5 & I_6 \end{bmatrix} \quad (21)$$

$$(I_1, I_2, I_3, I_4, I_5, I_6) = \int_{-\frac{h}{2}}^{\frac{h}{2}} (1, z, z^2, 0, 0, z^2) dz$$

انرژی پتانسیل ناشی از تنش اولیه برابر است با:

$$\delta \Pi_I = \int_{\Omega} \delta \{ w_{,x} \}^T \begin{bmatrix} N_{xx} & N_{xy} \\ N_{xy} & N_{yy} \end{bmatrix} \{ w_{,x} \} d\Omega \quad (22)$$

$$\epsilon = \epsilon^m + z \epsilon^b = \begin{Bmatrix} \frac{\partial u_0}{\partial x} \\ \frac{\partial v_0}{\partial y} \\ \frac{\partial u_0}{\partial y} + \frac{\partial v_0}{\partial x} \end{Bmatrix} + z \begin{Bmatrix} \frac{\partial \theta_y}{\partial x} \\ -\frac{\partial \theta_x}{\partial y} \\ \frac{\partial \theta_x}{\partial x} - \frac{\partial \theta_y}{\partial y} \end{Bmatrix} \quad (5)$$

$$\gamma = \begin{Bmatrix} \gamma_{xz} \\ \gamma_{yz} \end{Bmatrix} = \begin{Bmatrix} \theta_y + \frac{\partial w}{\partial x} \\ -\theta_x + \frac{\partial w}{\partial y} \end{Bmatrix}$$

بالانویس‌های m و b، s به ترتیب نماینده کرنش‌های غشایی، خمشی و برشی است. بر اساس قانون هوک برای مواد همسان‌گرد داریم که:

$$\begin{Bmatrix} \sigma_x \\ \sigma_y \\ \tau_{yz} \\ \tau_{xz} \\ \tau_{xy} \end{Bmatrix} = \begin{bmatrix} C_{11} & C_{12} & C_{13} & 0 & 0 & 0 \\ C_{12} & C_{11} & C_{13} & 0 & 0 & 0 \\ C_{13} & C_{13} & C_{33} & 0 & 0 & 0 \\ 0 & 0 & 0 & C_{44} & 0 & 0 \\ 0 & 0 & 0 & 0 & C_{55} & 0 \\ 0 & 0 & 0 & 0 & 0 & C_{66} \end{bmatrix} \begin{Bmatrix} \epsilon_x \\ \epsilon_y \\ \epsilon_z \\ \gamma_{yz} \\ \gamma_{xz} \\ \gamma_{xy} \end{Bmatrix} = [C] \{ \epsilon \} \quad (6)$$

با فرض تنش صفحه‌ای رابطه (۶) به صورت زیر خواهد شد:

$$\{ \sigma \} = [\hat{C}] \{ \epsilon \}, \quad [\hat{C}] = \begin{bmatrix} C_{11} & C_{12} & 0 & 0 & 0 \\ C_{12} & C_{11} & 0 & 0 & 0 \\ 0 & 0 & C_{66} & 0 & 0 \\ 0 & 0 & 0 & C_{44} & 0 \\ 0 & 0 & 0 & 0 & C_{55} \end{bmatrix} \quad (7)$$

نیروهای ناشی از تنش‌های درون صفحه‌ای N، گشتاورها M و نیروی Q ناشی از تنش برشی وارد بر المان ورق در واحد طول عبارتند از:

$$\begin{aligned} \{ N_x, N_y, N_{xy} \} &= \int_{-\frac{h}{2}}^{\frac{h}{2}} \{ \sigma_x, \sigma_y, \sigma_{xy} \} dz \\ \{ M_x, M_y, M_{xy} \} &= \int_{-\frac{h}{2}}^{\frac{h}{2}} \{ \sigma_x, \sigma_y, \sigma_{xy} \} z dz \\ \{ Q_x, Q_y \} &= \int_{-\frac{h}{2}}^{\frac{h}{2}} \{ \tau_{xz}, \tau_{yz} \} dz \end{aligned} \quad (8)$$

با جاگذاری روابط (۵) و (۷) در رابطه (۸) می‌توان نوشت:

$$\begin{aligned} \{ N \} &= [A] \{ \epsilon^m \} \\ \{ M \} &= [B] \{ \epsilon^b \} \\ \{ Q_x, Q_y \} &= [C_{55} \ C_{54}; C_{45} \ C_{44}] \{ \gamma_{zx}, \gamma_{yz} \} = [D^s] \{ \gamma \} \end{aligned} \quad (9)$$

بنابراین نیروهای کششی، گشتاورها و نیروهای برشی عبارتند از:

$$\begin{aligned} \begin{Bmatrix} N_x \\ N_y \\ N_{xy} \end{Bmatrix} &= \begin{bmatrix} A_{11} & A_{12} & A_{16} \\ A_{12} & A_{22} & A_{26} \\ A_{16} & A_{26} & A_{66} \end{bmatrix} \begin{Bmatrix} \frac{\partial u_0}{\partial x} \\ \frac{\partial v_0}{\partial y} \\ \frac{\partial u_0}{\partial y} + \frac{\partial v_0}{\partial x} \end{Bmatrix} \\ &+ \begin{bmatrix} B_{11} & B_{12} & B_{16} \\ B_{12} & B_{22} & B_{26} \\ B_{16} & B_{26} & B_{66} \end{bmatrix} \begin{Bmatrix} \frac{\partial \theta_y}{\partial x} \\ -\frac{\partial \theta_x}{\partial y} \\ \frac{\partial \theta_x}{\partial x} - \frac{\partial \theta_y}{\partial y} \end{Bmatrix} \end{aligned} \quad (10)$$

$$\begin{Bmatrix} M_x \\ M_y \\ M_{xy} \end{Bmatrix}$$

$$= \begin{bmatrix} B_{11} & B_{12} & B_{16} \\ B_{12} & B_{22} & B_{26} \\ B_{16} & B_{26} & B_{66} \end{bmatrix} \begin{Bmatrix} \frac{\partial u_0}{\partial x} \\ \frac{\partial v_0}{\partial y} \\ \frac{\partial u_0}{\partial y} + \frac{\partial v_0}{\partial x} \end{Bmatrix} \quad (11)$$

$$+ \begin{bmatrix} D_{11} & D_{12} & D_{16} \\ D_{12} & D_{22} & D_{26} \\ D_{16} & D_{26} & D_{66} \end{bmatrix} \begin{Bmatrix} \frac{\partial \theta_y}{\partial x} \\ -\frac{\partial \theta_x}{\partial y} \\ \frac{\partial \theta_x}{\partial x} - \frac{\partial \theta_y}{\partial y} \end{Bmatrix}$$

با جاگذاری معادلات (۱۸) تا (۲۳) در معادله (۱۷) فرم ضعیف تحلیل دینامیکی سیستم نامیرا به صورت زیر ارائه می‌شود:

$$\int_{\Omega} ((\delta \epsilon^b)^T D \epsilon^b) d\Omega + \int_{\Omega} ((\gamma)^T [D^s] \delta \gamma^b) d\Omega + \int_{\Omega} (\delta u^T \ddot{m} u) d\Omega = 0 \quad (23)$$

تا این مرحله، روابط برای المان ورق مستطیلی بدون سوراخ استخراج شده است. در ادامه کار با تعریف تحلیل هم هندسی، ضرایب تصحیح در حل روابط استخراج شده در اثر نگاشت المان مستطیل شکل به المان تغییر شکل یافته در اثر ایجاد سوراخ در شبکه‌بندی ورق سوراخ دار و نگاشت حاصل از حل عددی این معادلات در فضای انتخابی تعیین شده است.

### ۳- تحلیل هم هندسی

در یک دامنه پارامتری یک بعدی، توابع پایه B-spline با استفاده از مجموعه‌ای از مختصات غیرکاهشی  $\Xi = \{\xi_1, \xi_2, \xi_3, \dots, \xi_{n+p+1}\}$  به نام بردار گرهی تشکیل می‌شود در این بردار، گره‌ها  $\xi_i \in \mathbb{R}$ ،  $p$  مرتبه چندجمله‌ای B-spline و  $n$  تعداد نقاط کنترلی یا توابع پایه است. در یک بردار گرهی باز، تعداد گره‌های ابتدا و انتها  $p+1$  بار تکرار شده و در انتهای فواصل پارامتری، درونیاب هستند و همچنین در مرز دارای پیوستگی  $C^{-1}$  یا گسستگی است. معمولاً مقادیر گرهی با  $\xi_1 = 0$  و  $\xi_{n+p+1} = 1$  نرمالیزه می‌شوند. تابع پایه دارای پیوستگی  $C^\infty$  درون یک بازه گرهی و پیوستگی  $C^{p-k}$  با  $k$  بار تکرار گره است. هر بردار گرهی شامل  $p-n$  بازه گرهی بوده که در صورت تکرار مقادیر، صفر خواهند شد. با داشتن بردار گرهی و درجه توابع پایه، می‌توان توابع پایه را با استفاده از رابطه بازگشتی Cox de Boor به صورت زیر تعریف نمود [۲۱]:

$$N_{i,0} = \begin{cases} 1, & \xi_i \leq \xi \leq \xi_{i+1}, \quad p=0 \\ 0, & \text{others} \end{cases} \quad (24)$$

$$N_{i,p} = \frac{\xi - \xi_i}{\xi_{i+p} - \xi_i} N_{i,p-1} + \frac{\xi_{i+p+1} - \xi}{\xi_{i+p+1} - \xi_{i+1}} N_{i+1,p-1}, \quad p > 1$$

با استفاده از رابطه (۲۵) منحنی B-spline  $C(\xi)$  با درجه  $p$  در قالب رابطه (۲۶) تعریف می‌شود:

$$C(\xi) = \sum_{i=1}^n N_{i,p}(\xi) P_i, \quad 0 \leq \xi \leq 1 \quad (25)$$

منحنی فوق، یک چندجمله‌ای قطعه‌ای<sup>۱</sup> است، که در آن  $P_i$ ها نقاط کنترل در مختصات فیزیکی هستند. از آن‌جا که منحنی‌های B-spline چند جمله‌ای هستند، نمی‌توانند در منحنی‌های ساده کسری، به عنوان مثال دایره‌ها و بیضی‌ها مفید باشند. برای رفع این مشکل، B-splineها به توابع B-spline غیریکنواخت نسبتی (NURBS) یا منحنی‌های کسری نسبتی تعمیم داده شده طبق رابطه‌ی زیر تعریف شده است:

$$R_i^p(\xi) = \frac{N_{i,p}(\xi) w_i}{W(\xi)} = \frac{N_{i,p}(\xi) w_i}{\sum_{i=1}^n N_{i,p}(\xi) w_i} \quad (26)$$

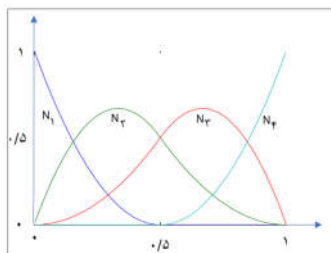
$$C(\xi) = \sum_{i=1}^n R_i^p(\xi) P_i, \quad W(\xi) = \sum_{i=1}^n N_{i,p}(\xi) w_i$$

که در آن  $W(\xi)$  تابع وزن می‌باشد. همچنین سطح NURBS از رابطه (۲۸) به دست می‌آید:

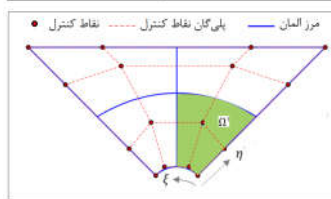
$$S(\xi, \eta) = \sum_{i=1}^n \sum_{j=1}^m R_{i,j}^{p,q}(\xi, \eta) P_{i,j} \quad (27)$$

$$R_{i,j}^{p,q}(\xi, \eta) = \frac{N_{i,p}(\xi) M_{j,q}(\eta) w_{i,j}}{\sum_{i=1}^n \sum_{j=1}^m N_{i,p}(\xi) M_{j,q}(\eta) w_{i,j}}$$

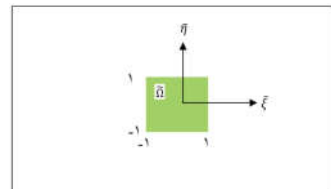
در عبارت فوق،  $p_{i,j}$  شبکه‌ای از  $m \times n$  نقاط کنترل است. همچنین، وزن‌های مربوط به هر نقطه کنترل و  $N_{i,p}(\xi)$  و  $M_{j,q}(\eta)$  توابع پایه B-spline هستند که به صورت رابطه (۲۵) بر روی بردارهای گره‌ای تعریف شده است [۲۳-۲۱]. درجه و بردار گرهی با توجه به شکل و شرایط مسئله مانند اجزای محدود به انتخاب تحلیل‌گر است. یک ربع صفحه مربعی با سوراخ مرکزی از ضرب تانسوری بردارهای گرهی  $H = \Xi = \{0, 0, 0, 0, 5, 1, 1, 1\}$  و توابع پایه درجه دوم در جهات  $\xi$  و  $\eta$  با یک شبکه  $2 \times 2$  از المان‌های ورق در فضای فیزیکی در شکل ۲-۲ الف و ب-۲ به عنوان یک وصله<sup>۲</sup> با ۱۶ نقطه کنترل نمایش داده شده است.



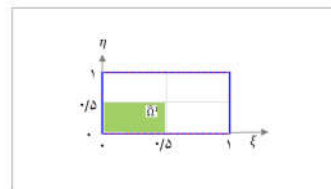
(الف)



(ب)



(ج)



(د)

شکل ۲- نمایش نحوه مدل فیزیکی با استفاده از توابع NURBS  
(الف) تابع پایه درجه ۲ با گره اضافی (ب) مدل فیزیکی  
(ج) المان مادر (د) فضای پارامتری (ه) فضای اندیسی

<sup>2</sup> patch

<sup>1</sup> Piecewise

نیاز است که ابتدا معادلات جابجایی ورق در دستگاه تعمیم یافته استخراج شود. ابتدا روابط المان صفحه خمشی ضخیم استخراج شده است. با توجه به مجهولات و درجات آزادی اصلی گره‌ها در راستای  $u, v, w, \theta_x$  و  $\theta_y$  ابتدا معادلات تعمیم یافته به صورت رابطه (۳۵) تعریف شده و سپس با صرف نظر از روابط اینرسی درون صفحه‌ای درجات آزادی هر گره المان به سه درجه  $w, \theta_x$  و  $\theta_y$  کاهش می‌یابد. توابع NURBS در جهات  $\xi$  و  $\eta$  تعریف شده است [۲۳، ۲۰]:

$$\begin{Bmatrix} u_0 \\ v_0 \\ w_0 \\ \theta_y^0 \\ \theta_x^0 \end{Bmatrix} = \begin{bmatrix} \{R^u\}^T & 0 & 0 & 0 & 0 \\ 0 & \{R^u\}^T & 0 & 0 & 0 \\ 0 & 0 & \{R^w\}^T & 0 & 0 \\ 0 & 0 & 0 & \{R^{\theta_y}\}^T & 0 \\ 0 & 0 & 0 & 0 & \{R^{\theta_x}\}^T \end{bmatrix} \begin{Bmatrix} q_u \\ q_v \\ q_w \\ q_{\theta_y} \\ q_{\theta_x} \end{Bmatrix} \quad (34)$$

جایی که  $\{q_u\}, \{q_v\}$  و  $\{q_w\}$  بردارهای تعمیم یافته داخل و خارج از صفحه جابجایی و  $\{q_{\theta_y}\}$  و  $\{q_{\theta_x}\}$  بردارهای تعمیم یافته دوران‌ها هستند. توابع NURBS [R] بردارهای سطری یک بعدی درون و برون صفحه‌ای و دورانی مرتبط با جابجایی‌های تعریف شده می‌باشند که به ترتیب عبارتند از:

$$\begin{aligned} \{R^u\}^T &= \{g_1(\xi)g_1(\eta), g_1(\xi)g_2(\eta), \dots, g_{pi}(\xi)g_{pi}(\eta)\} \\ \{R^w\}^T &= \{f_1(\xi)f_1(\eta), f_1(\xi)f_2(\eta), \dots, f_{po}(\xi)f_{po}(\eta)\} \\ \{R^{\theta_y}\}^T &= \{\theta_{y_1}(\xi)\theta_{y_1}(\eta), \theta_{y_1}(\xi)\theta_{y_2}(\eta), \dots, \theta_{y_{p\theta_y}}(\xi)\theta_{y_{p\theta_y}}(\eta)\} \\ \{R^{\theta_x}\}^T &= \{\theta_{x_1}(\xi)\theta_{x_1}(\eta), \theta_{x_1}(\xi)\theta_{x_2}(\eta), \dots, \theta_{x_{p\theta_x}}(\xi)\theta_{x_{p\theta_x}}(\eta)\} \end{aligned} \quad (35)$$

در رابطه فوق  $\{g\}, \{f\}, \{\theta_y\}$  و  $\{\theta_x\}$  بردارهای درون صفحه‌ای، عرضی و دورانی توابع شکل جابجایی یک بعدی است. همچنین  $p\theta_x$  و  $p\theta_y$  به ترتیب تعداد توابع شکل جابجایی عرضی، صفحه میانی در جهت  $x$  و  $y$  و دوران حول محورهای  $x$  و  $y$  بوده و  $\xi$  و  $\eta$  مختصات محلی می‌باشند. با جاگذاری توابع شکل از رابطه (۳۶) در روابط کرنش‌ها رابطه (۳۷، ۳۸) قابل محاسبه است

$$\{\varepsilon^m\} = \begin{bmatrix} \{R_x^u\}^T & 0 \\ 0 & \{R_y^u\}^T \\ \{R_x^u\}^T & \{R_y^u\}^T \end{bmatrix} \begin{Bmatrix} q_u \\ q_y \end{Bmatrix} \quad (36)$$

$$\{\varepsilon^b\} = \begin{bmatrix} -\{R_x^{\theta_y}\}^T & 0 \\ 0 & \{R_y^{\theta_x}\}^T \\ -\{R_y^{\theta_y}\}^T & \{R_x^{\theta_x}\}^T \end{bmatrix} \begin{Bmatrix} q_{\theta_y} \\ q_{\theta_x} \end{Bmatrix} =$$

$$\{\varepsilon^s\} = \begin{bmatrix} \gamma_{xz} \\ \gamma_{yz} \end{bmatrix} = \begin{bmatrix} \{R_x^w\}^T & \{R_y^{\theta_y}\}^T & 0 \\ \{R_x^w\}^T & 0 & -\{R_x^{\theta_x}\}^T \end{bmatrix} \begin{Bmatrix} q_w \\ q_{\theta_y} \\ q_{\theta_x} \end{Bmatrix} \quad (37)$$

حسب روابط (۹)، (۱۲) و (۱۳) در استخراج ارتعاشات عرضی، استقلال نیروهای برشی و خمشی درون صفحه‌ای حاصل می‌شود و از آنجا که جابجایی‌های دوران صفحه‌ای صفحه میانبار بسیار کوچکتر از جابجایی‌های عرضی است چشم‌پوشی از اینرسی دوران صفحه‌ای معقول بوده و می‌توان معادلات حرکت را فشرده‌تر کرد و از روابط کششی  $\{\varepsilon^m\}$  صرف نظر نمود. بنابر این درجات آزادی هر گره از المان به سه درجه کاهش می‌یابد. با توجه به کاهش درجات آزادی، با جاگذاری توابع شکل و روابط (۳۷) و (۳۸) در رابطه (۲۴) معادله حرکت می‌توان نوشت:

برای تشکیل هندسه کامل یک سازه ممکن است چندین وصله نیاز باشد و با توجه به شرایط مساله تعداد نقاط کنترل و المان‌های هر وصله افزایش می‌یابد. برای تشکیل یک ورق سوراخ‌دار از ۴ وصله استفاده شده است (شکل ۳). به منظور حل انتگرالی عددی از روش گوس مربعی استفاده شده است. انتگرال‌گیری در فضای فیزیکی با انتقال به فضای پارامتری و فضای مادر انجام شده است (شکل ۲). نگاشت از فضای مادر به فضای پارامتری با تابع انتقال  $\bar{\Omega} \rightarrow \hat{\Omega}$  و از فضای پارامتری به فضای فیزیکی با تابع انتقال  $S: \hat{\Omega} \rightarrow \Omega$  صورت پذیرفته است. بنابراین انتقال از فضای مادر به فضای فیزیکی به صورت ترکیبی  $X = S \circ \bar{\Phi}$  است. در فضای دو بعدی فواصل پارامتری یا گرهی غیر صفر هر المان سطح  $\hat{\Omega}^e = [\eta_i, \eta_{i+1}] \otimes [\xi_i, \xi_{i+1}]$ ، نگاشت  $\bar{\Phi}: \hat{\Omega} \rightarrow \Omega$  به صورت رابطه (۲۹) و جاکوبی مربوطه به صورت رابطه (۲۹) تعریف می‌شود به طوری که در تعریف سطح المان، ضرب کروئکر است. همچنین ماتریس جاکوبی انتقال نگاشت  $S: \hat{\Omega} \rightarrow \Omega$  نیز به صورت رابطه (۳۰) نوشته می‌شود. ماتریس جاکوبی این انتقال نیز به صورت روابط (۳۱، ۳۲) بیان می‌گردد

$$\bar{\Phi}^e(\xi) = \left\{ \begin{aligned} & \frac{1}{2}(\xi_{i+1} - \xi_i)\xi + \frac{1}{2}(\xi_{i+1} + \xi_i) \\ & \frac{1}{2}(\eta_{j+1} - \eta_j)\xi + \frac{1}{2}(\eta_{j+1} + \eta_j) \end{aligned} \right\} \quad (28)$$

$$|\bar{J}| = \frac{1}{4}(\xi_{i+1} - \xi_i)(\eta_{j+1} - \eta_j) \quad (29)$$

$$|J| = \begin{bmatrix} \frac{\partial x}{\partial \xi} & \frac{\partial x}{\partial \eta} \\ \frac{\partial y}{\partial \xi} & \frac{\partial y}{\partial \eta} \end{bmatrix} \quad (30)$$

$$|J| = \begin{bmatrix} \sum_{a=1}^{n_e} \frac{\partial R_a}{\partial \xi} x_a & \sum_{a=1}^{n_e} \frac{\partial R_a}{\partial \eta} x_a \\ \sum_{a=1}^{n_e} \frac{\partial R_a}{\partial \xi} y_a & \sum_{a=1}^{n_e} \frac{\partial R_a}{\partial \eta} y_a \end{bmatrix} \quad (31)$$

به طوری که  $n_e$  تعداد توابع پایه هر المان می‌باشد. بنابراین جاکوبی مربوط به نگاشت ترکیبی  $X = S \circ \bar{\Phi}$  به صورت رابطه (۳۳) است:

$$|J| = |\bar{J}| \cdot |J| \quad (32)$$

با تعیین نگاشت ترکیبی و جاکوبی مربوطه، امکان انتگرال‌گیری عددی با استفاده از روش گوس مربعی در فضای فیزیکی از المان مادر با رابطه انتقال به صورت رابطه (۳۴) صورت می‌گیرد:

$$\begin{aligned} \int f(x, y) dx dy &= \sum_e \int_{\hat{\Omega}^e} \int_{\hat{\Omega}^e} f(x, y) dx dy \\ &= \sum_e \int_{\hat{\Omega}^e} \int_{\hat{\Omega}^e} f(\xi, \eta) |J| d\xi d\eta \\ &= \sum_e \int_{\hat{\Omega}^e} \int_{\hat{\Omega}^e} f(\xi, \eta) |\bar{J}| \cdot |J| d\xi d\eta \\ &= \sum_e \int_{\hat{\Omega}^e} \int_{\hat{\Omega}^e} f(\xi, \eta) |J| d\xi d\eta \end{aligned} \quad \text{e line} \quad (35)$$

به طوری که  $N_{el}$  تعداد المان‌ها است. همانطور که مشخص است مقادیر انتگرال با روابط انتقال بدست آمده است.

#### ۴- تحلیل ارتعاشی

برای به دست آوردن روابط ارتعاشی به کمک روش هم هندسی

ورق مربعی با حفره داخلی با شکل‌های متفاوت مدل شده است و پس از صحت‌سنجی روش و بهبود مرتبه توابع پایه NURB و تعداد نقاط کنترل، روش برای مدل‌سازی ورق مشبک تعمیم داده است. روشهای بهبود<sup>۱</sup> مرتبه توابع p و تعداد نقاط کنترل h به صورت مجزا و یا به طور همزمان k با کنترل پیوستگی در مرجع [۲۱] آورده شده است.

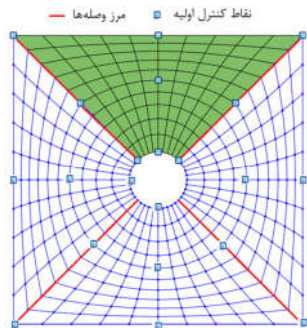
### ۵-۱- ورق با سوراخ دایره‌ای

ورقی مربعی با مشخصات جدول ۱ ابتدا مطابق شکل ۲-ب با توابع پایه درجه دوم شکل ۲-الف مدل‌سازی شده است.

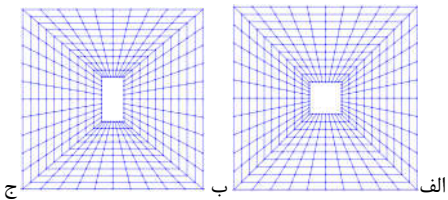
جدول ۱- مشخصات ورق با حفره داخلی

مشخصات	مقدار
ابعاد ورق $a \times b \times h$	$1 \times 1 \times 0.1$ متر
قطر سوراخ	$0.1$ متر
مدول الاستیسیته E	۲۰۰ گیگاپاسکال
ضریب پواسون $\nu$	$0.3$
چگالی	۷۸۰۰ کیلوگرم بر مترمکعب

برای تابع درجه دوم انتخابی در فضای فیزیکی در هر جهت  $\xi$  و  $\eta$  فقط به سه نقطه کنترل نیاز است. بنابراین با تعیین ۹ نقطه وصله اول شکل مدل‌سازی شده است. با استفاده از ماتریس‌های دوران و انتقال امکان ساختن وصله‌های مشابه وجود دارد (شکل ۳). با بهینه‌سازی مدل و افزایش نقاط کنترل و مرتبه توابع تربز، تعداد المان‌های هر وصله و کل مدل افزایش داده شده است. شرایط مرزی تکیه ساده و گیردار اعمال شده است.



شکل ۳- مدل‌سازی ورق با سوراخ دایره‌ای



<sup>1</sup> p, h and k- refinements

$$[K_1^b] = \int_{\Omega} \begin{bmatrix} -\{R_x^{\theta_y}\}^T & 0 \\ 0 & \{R_y^{\theta_x}\}^T \\ -\{R_y^{\theta_x}\}^T & \{R_x^{\theta_y}\}^T \end{bmatrix} [D] \begin{bmatrix} \{R_x^{\theta_y}\} & 0 \\ 0 & \{R_y^{\theta_x}\} \\ -\{R_y^{\theta_x}\} & \{R_x^{\theta_y}\} \end{bmatrix} d\Omega \quad (38)$$

$$[K_1^y] = \kappa \int_{\Omega} \begin{bmatrix} \{R_x^w\} & \{R_x^w\} \\ \{R_y^w\} & 0 \\ 0 & -\{R_x^w\} \end{bmatrix} [D^s] \begin{bmatrix} \{R_x^w\}^T & \{R_y^w\}^T & 0 \\ \{R_x^w\}^T & 0 & -\{R_x^w\}^T \end{bmatrix} d\Omega \quad e$$

$[K_1^b]$  ماتریس سفتی خمشی و  $[K_1^y]$  ماتریس سفتی برشی است.

همچنین ماتریس جرم نیز به صورت زیر تعیین می‌گردد:

$$\begin{bmatrix} [M_b] & 0 & 0 \\ 0 & [M_{R\theta_y}] & 0 \\ 0 & 0 & [M_{R\theta_x}] \end{bmatrix} \quad (40)$$

$$= \kappa \int_{\Omega} \begin{bmatrix} \{R_x^w\}^T & 0 & 0 \\ 0 & \{R_y^w\}^T & 0 \\ 0 & 0 & \{R_x^w\}^T \end{bmatrix} [m] \begin{bmatrix} \{R_x^w\} & 0 & 0 \\ 0 & \{R_y^w\} & 0 \\ 0 & 0 & \{R_x^w\} \end{bmatrix} d\Omega$$

بنابراین ارتعاشات آزاد و معادلات حرکت در دستگاه مختصات

تعمیم یافته مطابق رابطه (۴۲) است و معادلات کاهش یافته حرکت به رابطه (۴۳) بازنویسی می‌شوند. بدین ترتیب با در نظر گرفتن دو تغییر متغیر از فضای اندیسی و پارامتری به فضای انتگرال‌گیری گوس و سپس به فضای فیزیکی مطابق رابطه (۴۴)، مقادیر عددی سفتی و جرم هر المان مشخص شده و با توجه به ارتباط گرهی هر المان در وصله‌ها و وصله‌ها با یکدیگر، ماتریس کلی سفتی و جرم تعیین شده است.

$$\begin{bmatrix} [M_b] & 0 & 0 \\ 0 & [M_{R\theta_y}] & 0 \\ 0 & 0 & [M_{R\theta_x}] \end{bmatrix} \begin{Bmatrix} \ddot{q}_w \\ \ddot{q}_{\theta_y} \\ \ddot{q}_{\theta_x} \end{Bmatrix} + \begin{bmatrix} [K_1^{\gamma 11}] & [K_1^{\gamma 12}] & [K_1^{\gamma 13}] \\ [K_1^{\gamma 12}] & [K_1^{b 11}] + [K_1^{\gamma 22}] & [K_1^{b 12}] + [K_1^{\gamma 23}] \\ [K_1^{\gamma 13}] & [K_1^{b 12}] + [K_1^{\gamma 23}] & [K_1^{b 22}] + [K_1^{\gamma 33}] \end{bmatrix} \begin{Bmatrix} q_w \\ q_{\theta_y} \\ q_{\theta_x} \end{Bmatrix} = \begin{Bmatrix} 0 \\ 0 \\ 0 \end{Bmatrix} \quad (41)$$

$$[M]\{\ddot{q}\} + [K]\{q\} = 0 \quad (42)$$

و رابطه کلی ارتعاشی به صورت زیر حاصل می‌شود:

$$([K] - \omega^2[M])\{w\} = 0 \quad (43)$$

شرایط مرزی تکیه‌گاهی برای همه لبه‌ها به صورت ساده و یا گیردار در نظر گرفته شده است. مرز با تکیه‌گاه ساده با حرف مخفف S بیان می‌شود. در این نوع تکیه‌گاه جابجایی عمودی و ممان خمشی هر دو صفر است. برای زمانی که همه تکیه‌گاهها ساده باشند:

$$u_0 = v_0 = w = \theta_x = 0 \quad y=b \text{ و } y=0$$

$$u_0 = v_0 = w = \theta_y = 0 \quad x=a \text{ و } x=0$$

و مرز با تکیه‌گاه گیردار با حرف مخفف C مشخص می‌شود. در

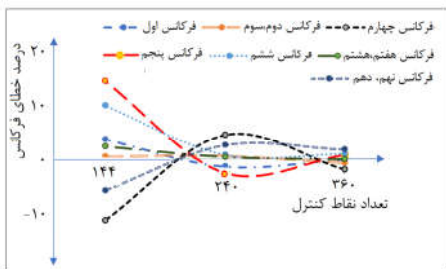
این نوع تکیه‌گاه، جابجایی و شیب هر دو صفر هستند؛ برای تمام لبه‌های گیردار:

$$u_0 = v_0 = w = \theta_x = \theta_y = 0 \quad y=b \text{ و } x=0, x=a, y=0$$

پس از اعمال شرایط مرزی و تشکیل ماتریس‌های سفتی و جرم اصلاح شده، با حل مسئله مقدار ویژه حاصل شده، فرکانس‌های طبیعی و شکل مودها استخراج شده است.

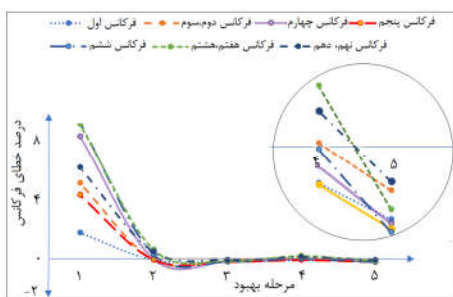
### ۵- مدل‌سازی

برای مدل‌سازی ورق مشبک ابتدا با استفاده از توابع NURBS،



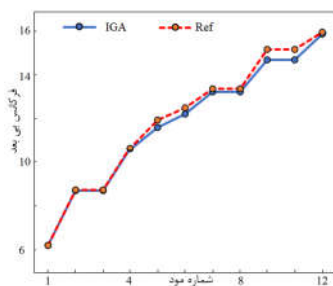
شکل ۶- همگرایی روش هم‌هندسی با افزایش مرتبه توابع NURBS

بدین منظور در این تحقیق برنامه نرم‌افزاری به زبان MATLAB تهیه شده به طوری که با افزایش نقاط کنترل و مرتبه توابع پایه به صورت منفرد و همزمان مطابق شکل‌های ۵ تا ۷ تحلیل شده و همگرایی روش‌های  $p$ ،  $h$ ، و  $k$  مورد بررسی قرار گرفته است. فرکانس‌های طبیعی بی بعد شده ورق با سوراخ مرکزی با نتایج مرجع [۱۱] مقایسه شده و مطابق شکل ۸ ارائه شده است. هم چنین در راستای صحت‌سنجی روش حاضر نتایج آن با حل اجزای محدود نیز مقایسه شده است.



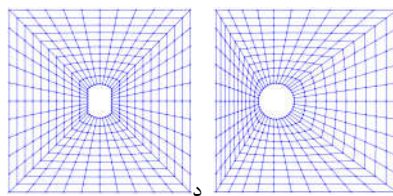
شکل ۷- همگرایی روش هم‌هندسی با افزایش نقاط کنترل و مرتبه

توابع NURBS



شکل ۸- مطابقت فرکانس‌های بی‌بعد روش هم‌هندسی و مرجع [۱۱]

با انتخاب تعداد نقاط کنترل بهینه مطابق توضیحات ارائه شده قبل، نتایج به دست آمده با حل نرم‌افزای اجزای محدود معرفی شده در بخش ۳-۵ مطابق جدول ۲ مقایسه گردیده است.



شکل ۴- مدل‌سازی ورق با حفره‌های داخلی متفاوت الف) سوراخ مربعی ب) سوراخ مستطیلی ج) سوراخ خارج از مرکز د) محل خار

## ۵-۱- ورق با سوراخ‌های متفاوت

ورق مربعی با حفره داخلی خارج از مرکز دایره‌ای و با سوراخ‌های مربعی مستطیلی و بیضی با مساحتی برابر با مساحت سوراخ دایره‌ای مدل اولیه و با همان خواص مکانیکی و هندسی ورق قبل (جدول ۱) و تعداد نقاط کنترل مدل‌سازی شده است. از مدل با سوراخ خارج از مرکز (شکل ۴-ج) برای مدل‌سازی ورق مشبک با الگوی سوراخ‌های مثلثی استفاده شده است.

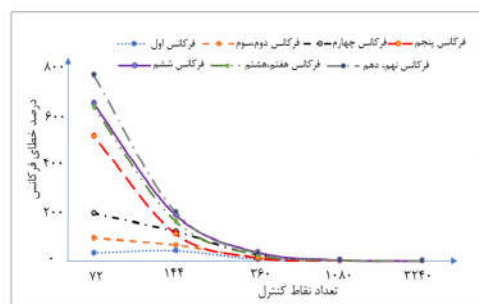
## ۵-۲- روش اجزاء محدود

ورق مسئله در محیط نرم‌افزار ANSYS با مشخصات معرفی شده با انتخاب ۱۰۰ المان Shell281 مدل‌سازی شده است.

## ۶- نتایج

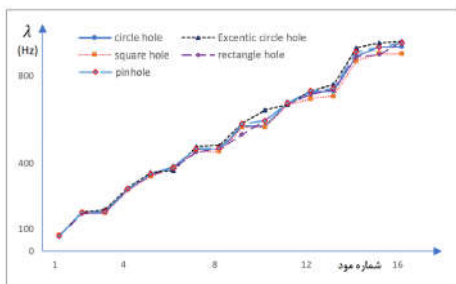
### ۶-۱- جدول‌ها و شکل‌ها

برای نشان دادن کارایی روش تحلیل هم‌هندسی در بررسی ارتعاشات ورق‌های مشبک ابتدا یک ورق با سوراخ مرکزی با ۴ وصله و بردار گرهی درجه دوم با ۲۴ نقطه کنترل مطابق شکل ۳ مدل‌سازی شده است.

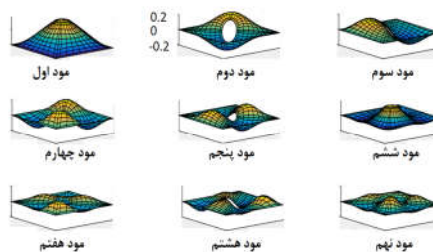


شکل ۵- همگرایی روش هم‌هندسی با افزایش نقاط کنترل

پس از مدل نمودن دقیق هندسه شکل با حداقل مرتبه توابع و تعداد نقاط کنترل مورد نیاز، به منظور انتخاب مرتبه توابع پایه و تعداد نقاط کنترل بهینه در راستای دستیابی به نتایج با دقت بالا و با حجم محاسبات کمتر بررسی لازم صورت پذیرفت.



شکل ۱۱- تغییرات فرکانس با شکل سوراخ

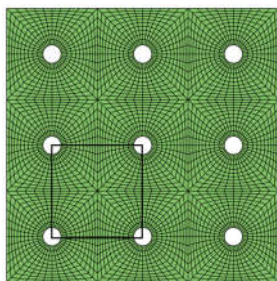


شکل ۹- شکل مودهای ۹ فرکانس اول

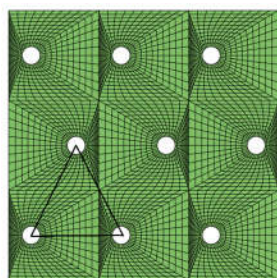
جدول ۳- درصد تغییرات فرکانس های ورق با تکیه گاه ساده با اشکال متفاوت سوراخ نسبت به سوراخ دایره ای مرکزی

مربع	مستطیل	بیضی	خارج از مرکز
-۱/۰۰	-۱/۷۰	-۰/۳۶	۰/۲۳
-۰/۳۳	-۱/۷۵	۰/۶۰	۰/۱۵
-۰/۳۳	۰/۲۱	۰/۸۴	۱/۲۹
-۰/۲۲	-۰/۲۱	۰/۷۶	۱/۵۹
۱/۳۶	۰/۹۰	۱/۷۵	۲/۶۸
۰/۱۲	-۰/۷۶	-۱/۶۲	۱/۳۶
۱/۱۰	-۰/۸۰	۱/۶۵	۳/۰۴
۱/۱۰	۱/۳۶	۲/۰۳	۳/۷۶
۰/۱۳	-۵/۴۲	۱/۶۵	۱/۶۳
۰/۱۳	۳/۷۸	۳/۲۸	۴/۸۶

به دلیل مشابهت اثر شکل سوراخها بر روی فرکانس های طبیعی با شرایط تکیه گاهی متفاوت در این بررسی صرفاً نتایج با تکیه گاه ساده در جدول ۳ ارائه شده است. پس از بررسی لازم جهت ورق با سوراخ های متفاوت یک ورق مشبک با الگوهای مستطیلی و مثلثی (شکل های ۱۲ و ۱۳) با شرایط مرزی گیردار و ساده بررسی شده است.



شکل ۱۲- ورق مشبک با الگوی مستطیلی

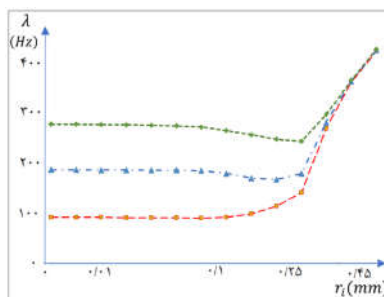


شکل ۱۳- ورق مشبک با الگوی مثلثی

جدول ۲- ده فرکانس اول (هرتز) ورق با تکیه گاه گیردار

روش هم هندسی	نرم افزار ANSYS	درصد اختلاف
۷۶ × ۲۰	۱۰۰ × ۱۰۰	
۸۸/۸۳	۸۸/۹۰	۰/۰۸
۱۷۳/۵۴	۱۷۴/۰۳	۰/۲۸
۱۷۳/۵۴	۱۷۴/۰۳	۰/۲۸
۲۵۶/۴۳	۲۵۶/۹۱	۰/۱۹
۳۰۹/۹۵	۳۱۰/۳۰	۰/۱۱
۳۳۶/۸۵	۳۳۷/۷۰	۰/۲۱
۳۹۲/۳۹	۳۹۴/۰۲	۰/۴۱
۳۹۲/۳۹	۳۹۴/۰۲	۰/۴۱
۴۸۸/۰۰	۴۹۰/۱۹	۰/۴۵
۴۸۸/۰۰	۴۹۰/۱۹	۰/۴۵

مساحت کل سوراخ های ورق مشبک با مساحت ورق سوراخ دار یکسان است. زمان پردازش با روش حاضر نسبت به نرم افزار اجزای محدود حدود ۳ برابر شده است و با افزایش تعداد نقاط کنترل افزایش می یابد. شکل مودهای متناظر با ۹ فرکانس طبیعی اول ورق سوراخ دار در شکل ۹ نشان داده شده است. در ادامه کار اثر افزایش قطر سوراخ بر روی رفتار ارتعاشی بررسی شده است و نتایج آن برای سه فرکانس اول در شکل ۱۰ قابل نمایش داده شده است. پس از آن اثر خارج از مرکز بودن سوراخ و شکل سوراخ های متفاوت شامل مربعی، مستطیلی و بیضی بر روی فرکانس های طبیعی با شرایط مرزی ساده و گیردار بررسی شده است و تغییرات فرکانسی نسبت به سوراخ مرکزی استخراج شده است (شکل ۱۱).

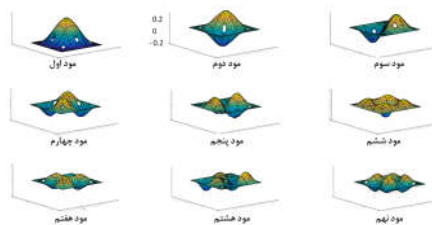


شکل ۱۰- اثر افزایش قطر سوراخ بر روی ۳ فرکانس طبیعی اول



## ۷- نتیجه گیری

برای بررسی اثر قطر و شکل سوراخ بر روی رفتار ارتعاشی ورق‌های مشبک ابتدا با در نظر گرفتن ورق میندین-ریسنر با نظریه مرتبه اول برشی، روابط حاکم بر رفتار ورق و روابط کرنش جابجایی استخراج گردیده و با استفاده از روش انرژی و اصل همبستگی با فرم ضعیف، معادلات حرکت استخراج گردید. سپس، به کمک تحلیل هم‌هندسی با استفاده از توابع NURB مناسب انتخابی مدل‌سازی شکل انجام شده و از همان توابع پایه برای تخمین معادلات جابجایی و تخمین مجهولات استفاده شد. با حل عددی انتگرال‌های سختی و جرم و تشکیل معادله مقدار ویژه، مقادیر ویژه و بردارهای ویژه یا به عبارت ساده‌تر فرکانس‌های طبیعی و شکل مودهای متناظر استخراج شده است. برای بررسی کارایی روش از نظر دقت و حجم محاسبات، ابتدا یک ورق با سوراخ مرکزی مدل‌سازی و به کمک تحلیل هم‌هندسی فرکانس‌های طبیعی آن برای شرایط مرزی ساده و گیردار استخراج شده است. در ادامه کار با حل نرم‌افزاری و برخی مرجع مرتبط مقایسه گردیده است. با استفاده از نتایج حل نرم‌افزاری و مرجع ۱۱ توابع NURB بهینه شده انتخاب گردید به طوری که خطای سایر مودها با افزایش نقاط به سمت صفر میل کرده است. اما از آنجایی که توابع درجه دوم هندسه شکل را به صورت دقیق توصیف نموده است و این تابع برای پیش‌بینی میدان جابجایی نیز استفاده شده است بستگی به شکل مود و جابجایی نقاط مختلف ورق، این تابع دارای خطای پیش‌بینی و همگرایی متفاوت است. بنابراین افزایش مرتبه تابع تا جایی که مجموع خطای سایر شکل مودها حداقل شود به صورت بهینه انتخاب شده است. از نظر حجم محاسبات و دقت نتایج، برای هر شکل که شامل ۴ وصله است، توابع مرتبه ۳ با ۱۰۸۰ نقطه کنترل انتخاب شده است که بیشترین خطای آن نسبت حل اجزای محدود کمتر از ۰/۴۵ درصد بوده است. سپس اثر افزایش قطر و شکل سوراخ بر روی رفتار ارتعاشی ورق مورد مطالعه قرار گرفت. نتایج نشان می‌دهد روش هم‌هندسی با تعداد نقاط کنترل کمتر نسبت به روش اجزای محدود نتایج مشابهی دارد. با افزایش قطر سوراخ ابتدا فرکانس‌های طبیعی مقداری کاهش و پس از آن شروع به افزایش می‌نماید و این افزایش قطر سوراخ تا نزدیک مرز خارجی باعث می‌شود فرکانس‌های اول، دوم و سوم به سمت یک فرکانس یکسان و بالاتر همگرا شوند. نزدیک شدن لبه سوراخ به مرز ورق و تغییر کلی شکل ورق (کاهش طول ورق از لبه آزاد سوراخ تا مرز تکیه‌گاه) در واقع باعث افزایش سختی ورق شده و افزایش فرکانس و حذف برخی از فرکانس‌های پایین‌تر در پی داشته است. همچنین خارج از مرکز شدن سوراخ باعث افزایش فرکانس‌های طبیعی نسبت به سوراخ مرکزی می‌شود و این درصد افزایش برای فرکانس‌های بالاتر بیشتر است که این موضوع نیز به دلیل نزدیک شدن لبه سوراخ به عنوان لبه آزاد به تکیه‌گاه و افزایش سختی کلی می‌باشد. اما تغییر شکل سوراخ به مربعی با همان مساحت سوراخ قبلی باعث کاهش فرکانس‌های طبیعی می‌شود که درصد کاهش فرکانس اول از فرکانس‌های دو تا چهارم بیشتر است و اثر شکل سوراخ بر روی رفتار ارتعاشی ورق قابل ملاحظه است. سوراخ مستطیلی نیز باعث بیشترین کاهش فرکانس‌های طبیعی می‌شود که درصد کاهش فرکانس اول و دوم بیشتر از پنج فرکانس بعدی است. نتایج نشان می‌دهد که سوراخ بیضوی فرکانس اول را کاهش می‌دهد

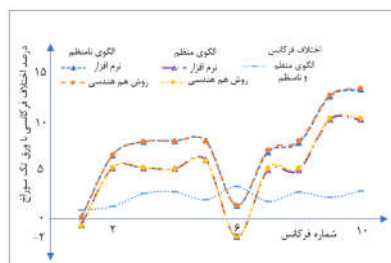


شکل ۱۴- شکل مودهای ورق مشبک

جدول ۴- فرکانس‌های ورق مشبک با الگوی سوراخ مستطیلی و مثلثی با تکیه‌گاه ساده و گیردار کامل

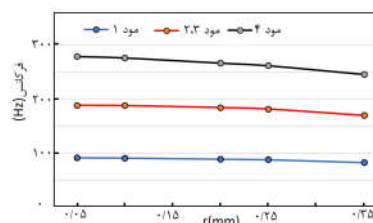
مود	الگوی مستطیلی		الگوی مثلثی		% تغییرات فرکانس	
	CCCC	SSSS	CCCC	SSS	CCCC	SSSS
۱	۸۸/۳۶	۴۵/۹۰	۸۹/۰۹	۴۶/۰۱	۰/۸۱	۰/۲۳
۲	۱۸۲/۹۰	۱۱۵/۴۸	۱۸۵/۱۱	۱۱۵/۷۵	۱/۱۹	۰/۲۳
۳	۱۸۲/۹۰	۱۱۵/۴۸	۱۸۷/۵۰	۱۱۶/۹۸	۲/۴۵	۱/۲۸
۴	۲۶۹/۸۴	۱۸۵/۸۵	۲۷۷/۰۸	۱۸۸/۸۰	۲/۶۱	۱/۵۶
۵	۳۲۸/۷۸	۲۳۳/۷۴	۳۳۴/۹۷	۲۳۶/۱۵	۱/۸۵	۱/۰۲
۶	۳۳۱/۴۹	۲۳۳/۷۴	۳۴۲/۱۸	۲۴۰/۰۱	۳/۱۲	۲/۶۱
۷	۴۱۳/۴۳	۳۱۰/۲۰	۴۲۰/۵۴	۳۱۹/۶۱	۱/۶۹	۲/۹۵
۸	۴۱۳/۴۳	۳۱۰/۲۰	۴۲۴/۳۴	۳۲۱/۸۷	۲/۵۷	۳/۶۳
۹	۵۳۹/۵۸	۴۰۵/۵۱	۵۵۱/۰۷	۴۱۲/۱۳	۲/۰۸	۱/۶۱
۱۰	۵۳۹/۵۸	۴۰۵/۵۱	۵۵۴/۵۲	۴۴۱/۳۸	۲/۶۹	۸/۱۳

شکل مودها متناظر با ده فرکانس اول در شکل ۱۴ نمایش داده شده است. به منظور صحت سنجی و بررسی تغییرات فرکانس‌ها با الگوی مشبک، ورق با تکیه‌گاه گیردار کامل به کمک نرم‌افزار بررسی و با روش حاضر مقایسه شده است. نتایج بررسی الگوها و مقایسه ۱۰ فرکانس اول در شکل ۱۵ ارائه شده است.



شکل ۱۵- تغییرات فرکانس ورق مشبک با الگوهای مستطیلی و مثلثی

تغییرات ۴ فرکانس اول ورق مشبک با افزایش قطر بررسی شده و نتیجه در شکل ۱۶ نمایش داده شده است



شکل ۱۶- تغییرات فرکانس با افزایش قطر سوراخ‌های ورق مشبک

- [6] Thakare S., Free Vibration Analysis of Circular Plates with Holes and Cutouts. IOSR Journal of Mechanical and Civil Engineering, Vol. 8, pp. 46-54, 2013.
- [7] Grossi R. O., Arenas B. D. V. and Laura P. A. A., Free Vibration of Rectangular Plates with Circular Openings. Ocean Engineering, Vol. 24, No.1, pp. 19-24. 1997.
- [8] Kalita K. and Haldar S., Free Vibration Analysis of Rectangular Plates with Central Cutout. Cogent Engineering, Vol. 3, No.1, pp. 53-81, 2016.
- [9] Rahul S. E. N., Kushwaha S. K. and Ahmad A. K., Dynamic Analysis of Laminated Composite Plate with Hole. Innovare Journal of Engineering and Amp; Technology, Vol. 3, No.1, pp. 146-154, 2015.
- [10] Mohammed H., Hamza cherif S. M. and Houmat V., Free Vibration Analysis of Variable Stiffness Composite Laminate Plate with Circular Cutout. Australian Journal of Mechanical Engineering, pp. 1-17, 2017.
- [11] Huang M. and Sakiyama T., Free Vibration Analysis of Rectangular Plates with Various- Shaped Holes. Journal of Sound and Vibration, Vol. 226, No.4, pp. 769-786, 1999
- [12] Kwak M. K. and Han S., Free Vibration Analysis of Rectangular Plate with a Hole by means of Independent Coordinate Coupling Method. Journal of Sound and Vibration, Vol. 306, No.1, pp. 12-30, 2007.
- [13] AL- Araji M. S. H., Gafer A. S. and Saed V., Free Vibration Analysis of Perforated Laminated Composite Square Plates. Journal of University of Babylon, Vol. 26, No.10, pp. 335-345, 2018.
- [14] Zhang H., Wang D. and Liu W., Isogeometric- Meshfree Coupled Analysis of Kirchhoff Plates. Advances in Structural Engineering, Vol. 17, No.8, pp. 1159-1176, 2014.
- [15] Barry O.R. and Tanbour V., Resonant Frequencies of Perforated Plates with Rectangular Slots. Proceedings of the Institution of Mechanical Engineers, Part C: Journal of Mechanical Engineering Science, Vol. 232, No.7, pp. 1247-1254, 2016.
- [16] Konieczny G. M. G. and Ahtelik V., The FEA and Experimental Stress Analysis in Circular Perforated Plates Loaded with Concentrated Force. Frattura ed Integrità Strutturale, Vol. 14, No.51, pp. 164-173, 2019.
- [17] Soleimanian S., Davar A., Eskandari Jam J., Zamani, M., Heydari Beni M., Thermal Buckling and Thermal Induced free Vibration Analysis of Perforated Composite Plates: a Mathematical Model. Mechanics of Advanced Composite Structures, Vol. 7, No.1, pp. 15-23, 2020.
- [18] Thai C. H., Kulasegaram S., Tran L. V. and Nguyen-Xuan H., Generalized Shear Deformation Theory for Functionally Graded Isotropic and Sandwich Plates based on Isogeometric Approach. Computers & Structures, Vol. 141, pp. 94-112, 2014.
- [19] Fung Y.C., Foundation of Solid Mechanics. Prentice Hall International, Inc., 1977.
- [20] Pety M., Introduction to Finite Element Vibration Analysis., Cambridge [England]; New York: Cambridge University Press, 2010.
- [21] Piegl L., The NURBS Book. Second Edition. ed. Monographs in Visual Communication., Berlin, Heidelberg, Springer Berlin Heidelberg, 1997.
- [22] Cottrell J.A., Hughes T.J. and Bazilevs Y., Isogeometric Analysis: toward Integration of CAD and FEA., John Wiley & Son, 2009.

[۲۳] نیکویی س. و حسینی ب.، تحلیل ایزوژئومتریکی پوسته‌های با شکل آزاد و محاسبه دقیق بردار جهتی آن با استفاده از نظریه‌های کیرشهف-لاو و رایزنر-میندلین. مجله مهندسی مکانیک دانشگاه تبریز، د. ۵۰، ش. ۴، ص ۲۰۹-۲۱۸، ۱۳۹۹.

اما فرکانس‌های بعدی را افزایش می‌دهد. بررسی ورق مشبک با الگوی مستطیلی و مثلثی مطابق شکل ۱۵ نشان می‌دهد که توزیع سوراخ در هر دو حالت نسبت به ورق با تک سوراخ دارای فرکانس‌های بالاتری می‌باشد و مطابق انتظار در حالت الگوی مثلثی این میزان بیشتر است. با توجه به شکل مود ششم سوراخ ورق در فرورفتگی مرکز ورق قرار گرفته است و رفتار ورق مشبک به ورق با سوراخ مرکزی نزدیکتر شده است و باعث شده است اختلاف فرکانس آنها به کمترین مقدار برسد. باید توجه داشت که این افزایش کمتر از ۱۵ درصد است و با روش خواص اصلاح شده جایگزین (مدول الایسیسیته، چگالی و ضریب پواسون) همانند مراجع ۱۲، ۱۱، ۱۰، ۱۵ و ۱۷ مطابقت دارد. بر خلاف ورق با سوراخ مرکزی افزایش قطر سوراخ در ورق مشبک که سوراخها در کل ورق به صورت یکنواخت و با همان سطح حفره ایجاد شده باشد باعث کاهش فرکانس‌ها می‌شود.

## ۸- نمادها

ماتریس جرم، ماتریس سختی و ضریب میرایی	$[M], [K], [C]$
ماتریس‌های ستونی جایجایی، سرعت و شتاب	$\{\dot{q}\}, \{q\}$
جایجایی در راستای محورهای x، y و z	$u, v, w$
دورانهای میانتر قبل از تغییر شکل حول محور x و y	$\theta_x, \theta_y$
انرژی کرنشی و انرژی جنبشی	$U, T$
ماتریس‌های کرنش، کرنش‌های کششی، خمشی، برشی	$\{\varepsilon\}, \{\varepsilon^m\}, \{\varepsilon^b\}, \{\varepsilon^s\}$
ماتریس انحنای	$\{\chi\}$
ماتریس تنش	$\{\sigma\}$
ماتریس‌های ثابت خمشی و ثابت پیچشی	$[D], [D^s]$
ماتریس تنش برشی و کرنش برشی	$\{\tau\}, \{\gamma\}$
مدول برشی، ضریب برش	$G, \kappa$
بردار گرگی در جهات $\xi$ و $\eta$	$\Xi, H$
توابع پایه Bspline و NURBS	$N, R$
منحنی Bspline	$C$
ماتریس‌های کرنش سختی و کرنش برشی	$[B^f], [B^s]$
ماتریس‌های سفتی خمشی و برشی	$[K_1^b], [K_1^f]$

## ۹- مراجع

- [1] Jhung M.J and Jeong K. H., Free Vibration Analysis of Perforated Plate with Square Penetration Pattern using Equivalent Material Properties. Nuclear Engineering and Technology, Vol. 47, No.4, pp. 500-511, 2015.
- [2] Hughes T. J., Cottrell J. A. and Bazilevs Y., Isogeometric Analysis: CAD, Finite Elements, NURBS, Exact Geometry and Mesh Refinement. Computer Methods in Applied Mechanics and Engineering, Vol. 194, No. 39-41, pp. 4135-4195, 2005.
- [3] Faroughi S., Shafei E. and Eriksson A., NURBS-Based Modeling of Laminated Composite Beams with Isogeometric Displacement-only Theory. Composites Part B: Engineering, Vol. 162, pp. 89-102, 2019.
- [4] Weeger O., Yeung S. K. and Dunn M.L., Fully Isogeometric Modeling and Analysis of Nonlinear 3D Beams with Spatially varying Geometric and Material Parameters. Computer Methods in Applied Mechanics and Engineering, pp. 95-115, 2011
- [5] Shojaee S., Valizadeh N., Izadpanah E. and VanVu T., Free Vibration and Buckling Analysis of Laminated Composite Plates using the NURBS-Based Isogeometric Finite Element Method. Vol. 94, pp.1677-1693, 2012.